

2023年数学研究院研究专题报告会

彩色图像鲁棒填充问题的 随机化算法收敛性理论

贾志刚

江苏师范大学

2023年2月26日

目录

1. 重点研究内容
2. 研究背景与研究意义
3. 学科知识与研究基础
4. 面临的难点与困难
5. 其他问题

1. 重点研究内容

彩色图像鲁棒填充问题



数学模型与可解性



随机化算法与收敛性



应用：医学图像处理

2. 研究背景与研究意义

研究背景

◆ 压缩感知 (Compressed Sensing/Sampling, $Ax=b$)

如果信号是稀疏的，那么它可以由远低于采样定理要求的采样点重建恢复。

□ E.J. Candès, J. Romberg and T. Tao, Robust uncertainty principles: exact signal reconstruction from highly incomplete frequency information, *IEEE Transactions on Information Theory*, vol. 52, no. 2, pp. 489-509, Feb. 2006. (arXiv 2004)

□ D.L. Donoho, Compressed sensing, *IEEE Transactions on Information Theory*, vol. 52, no. 4, pp. 1289-1306, April 2006.

(2022年获IEEE信号处理奖, “For groundbreaking contributions to sparse signal recovery and compressed sensing”)

IEEE Jack S. Kilby Signal Processing Medal



Emmanuel Candès, Terence Tao, and Justin Romberg

“For groundbreaking contributions to compressed sensing.”

2021年陶哲轩等人获得IEEE信号处理奖
获奖理由：对压缩感知的突破性贡献

2. 研究背景与研究意义

研究背景

◆ 矩阵补全 (Matrix Completion, SVT, Robust PCA)

通过解凸优化问题恢复低秩矩阵。

- E.J. Candés, B. Recht, Exact matrix completion via convex optimization, Found Comput Math. 9(6), 717-772, 2009.
- J. Cai, E.J. Candés, Z. Shen, A singular value thresholding algorithm for matrix completion. SIAM J Optim. 20(4), 1956-1982, 2010.
- E.J. Candés, X. Li, Y. Ma, Wright J. Robust principal component analysis? J ACM, 58(3), Article No. 11, 2011.

$$\begin{array}{ll} \text{minimize} & \text{rank}(X) \\ \text{subject to} & X_{ij} = M_{ij} \quad (i, j) \in \Omega \end{array}$$

$$\begin{array}{ll} \text{minimize} & \|X\|_* \\ \text{subject to} & X_{ij} = M_{ij} \quad (i, j) \in \Omega \end{array}$$

$$\begin{array}{ll} \text{minimize} & \|L\|_* + \lambda \|S\|_1 \\ \text{subject to} & \mathcal{P}_{\Omega_{\text{obs}}}(L + S) = Y \end{array}$$

2. 研究背景与研究意义

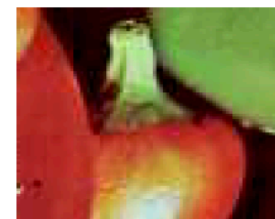
研究背景

◆ 四元数矩阵/张量补全 (QMC/TC)

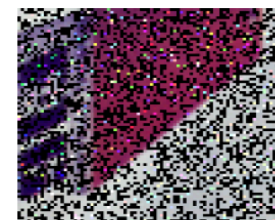
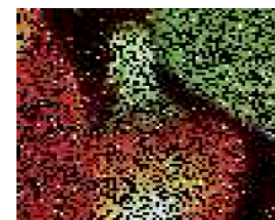
- Z. Jia, M. K. Ng, G. Song, Robust quaternion matrix completion with applications to image inpainting, Numer. Linear Algebra Appl., 26 (4), e2245, 2019.
- J. Jiang, M. K. Ng, Exact tensor completion from sparsely corrupted observations via convex optimization, Aug. 2017, arXiv:1708.00601.

◆ 彩色图像/视频填充 (Color Image/Video Inpainting)

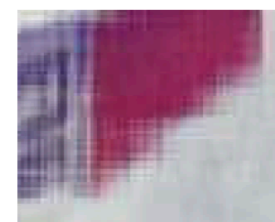
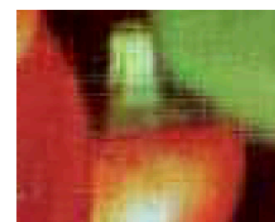
- Z. Jia, Q. Jin, M. K. Ng, X. -L. Zhao, Non-local robust quaternion matrix completion for large-scale color image and video inpainting, IEEE Trans. Image Process., vol. 31, pp. 3868-3883, 2022.



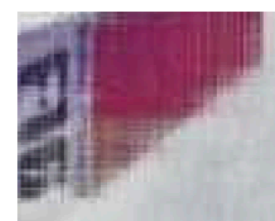
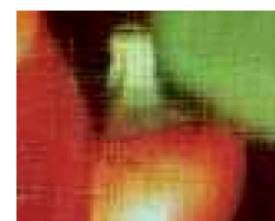
原图



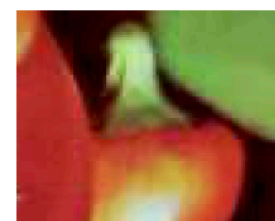
观测图



QMC



TC



NSS-QMC

2. 研究背景与研究意义

研究意义

- ◆ 研究课题：含强噪声的彩色图像鲁棒填充问题
- ◆ 理论意义：构建新的数学模型与求解方法
- ◆ 应用价值：临床医学图像处理

2. 研究背景与研究意义

研究意义

- 利用超低剂量CT图像进行三维重建和可视化，将复杂的三维器官结构直观地显示出来
- 有助于医生进行全面而准确的分析，提高医疗诊断水平

3. 学科知识与研究基础

图像的数学表示

◆ 灰色图像:

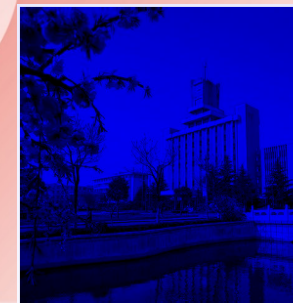
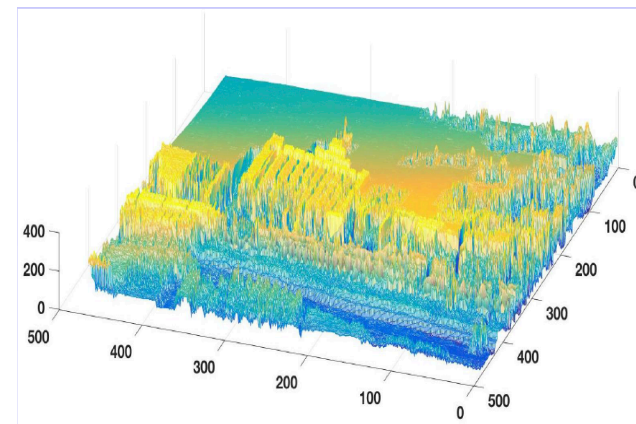
$$u(x, y), (x, y) \in \Omega \subset \mathbb{R}^2$$

$$L(i, j) = u(x_i, y_j), (x_i, y_j) \in \Omega$$

◆ 彩色图像:

$$\mathbf{u}(x, y) \rightarrow u_1(x, y), \dots, u_c(x, y)$$

$$\mathbf{L} \rightarrow [L_r, L_g, L_b], L_{r/g/b}(i, j) = u_{r/g/b}(x_i, y_j)$$



3. 学科知识与研究基础

示例：张量表示 **VS** 四元数矩阵表示

➤ 3 阶张量：

$$\mathcal{T}(:, :, 1) = \begin{bmatrix} 0 & 0 & -1 \\ 0 & 0 & 0 \\ 1 & 0 & 0 \end{bmatrix}, \quad \mathcal{T}(:, :, 2) = \begin{bmatrix} 0 & 1 & 0 \\ -1 & 0 & 0 \\ 0 & 0 & 0 \end{bmatrix},$$

$$\mathcal{T}(:, :, 3) = \begin{bmatrix} 0 & 0 & 0 \\ 0 & 0 & 1 \\ 0 & -1 & 0 \end{bmatrix}.$$

3. 学科知识与研究基础

示例：张量表示 VS 四元数矩阵表示

➤ 四元数： $\mathbb{Q} := \{q_0 + q_1i + q_2j + q_3k \mid q_0, q_1, q_2, q_3 \in \mathbb{R}\}$

➤ 三个虚单位：

$$i^2 = j^2 = k^2 = ijk = -1$$

| \times | 1 | i | j | k |
|----------|-----|------|------|------|
| 1 | 1 | i | j | k |
| i | i | -1 | k | $-j$ |
| j | j | $-k$ | -1 | i |
| k | k | j | $-i$ | -1 |

3. 学科知识与研究基础

示例：张量表示 VS 四元数矩阵表示

➤ 四元数矩阵：

$$\mathbf{T} = \begin{bmatrix} 0 & \mathbf{j} & -\mathbf{i} \\ -\mathbf{j} & 0 & \mathbf{k} \\ \mathbf{i} & -\mathbf{k} & 0 \end{bmatrix}.$$

$$\left(= \begin{bmatrix} 0 & 0 & -1 \\ 0 & 0 & 0 \\ 1 & 0 & 0 \end{bmatrix} \mathbf{i} + \begin{bmatrix} 0 & 1 & 0 \\ -1 & 0 & 0 \\ 0 & 0 & 0 \end{bmatrix} \mathbf{j} + \begin{bmatrix} 0 & 0 & 0 \\ 0 & 0 & 1 \\ 0 & -1 & 0 \end{bmatrix} \mathbf{k} \right)$$

$$\mathcal{T}(:, :, 1) = \begin{bmatrix} 0 & 0 & -1 \\ 0 & 0 & 0 \\ 1 & 0 & 0 \end{bmatrix}, \quad \mathcal{T}(:, :, 2) = \begin{bmatrix} 0 & 1 & 0 \\ -1 & 0 & 0 \\ 0 & 0 & 0 \end{bmatrix},$$

$$\mathcal{T}(:, :, 3) = \begin{bmatrix} 0 & 0 & 0 \\ 0 & 0 & 1 \\ 0 & -1 & 0 \end{bmatrix}.$$

3. 学科知识与研究基础

示例：张量表示 VS 四元数矩阵表示

➤ QSVD:

$$\mathbf{T} = \begin{bmatrix} 0 & \mathbf{j} & -\mathbf{i} \\ -\mathbf{j} & 0 & \mathbf{k} \\ \mathbf{i} & -\mathbf{k} & 0 \end{bmatrix} = \mathbf{U} \begin{bmatrix} 2 & 0 & 0 \\ 0 & 1 & 0 \\ 0 & 0 & 1 \end{bmatrix} \mathbf{V}^H,$$

$$\mathbf{U} = \begin{bmatrix} -\frac{1}{\sqrt{3}} & 0 & \frac{\sqrt{6}}{3} \\ -\frac{1}{\sqrt{3}}\mathbf{j} & \frac{1}{\sqrt{2}}\mathbf{j} & -\frac{1}{\sqrt{6}}\mathbf{j} \\ \frac{1}{\sqrt{3}}\mathbf{i} & \frac{1}{\sqrt{2}}\mathbf{i} & \frac{1}{\sqrt{6}}\mathbf{i} \end{bmatrix}, \quad \mathbf{V} = \begin{bmatrix} \frac{1}{\sqrt{3}} & 0 & \frac{\sqrt{6}}{3} \\ \frac{1}{\sqrt{3}}\mathbf{j} & \frac{1}{\sqrt{2}}\mathbf{j} & -\frac{1}{\sqrt{6}}\mathbf{j} \\ -\frac{1}{\sqrt{3}}\mathbf{i} & \frac{1}{\sqrt{2}}\mathbf{i} & \frac{1}{\sqrt{6}}\mathbf{i} \end{bmatrix}.$$

➤ 最佳秩1逼近:

$$\mathbf{T}_1 = \mathbf{U} \begin{bmatrix} 2 & 0 & 0 \\ 0 & 0 & 0 \\ 0 & 0 & 0 \end{bmatrix} \mathbf{V}^H = \frac{2}{3} \begin{bmatrix} -1 & \mathbf{j} & -\mathbf{i} \\ -\mathbf{j} & -1 & \mathbf{k} \\ \mathbf{i} & \mathbf{k} & -1 \end{bmatrix}.$$

3. 学科知识与研究基础

图像处理的数学模型

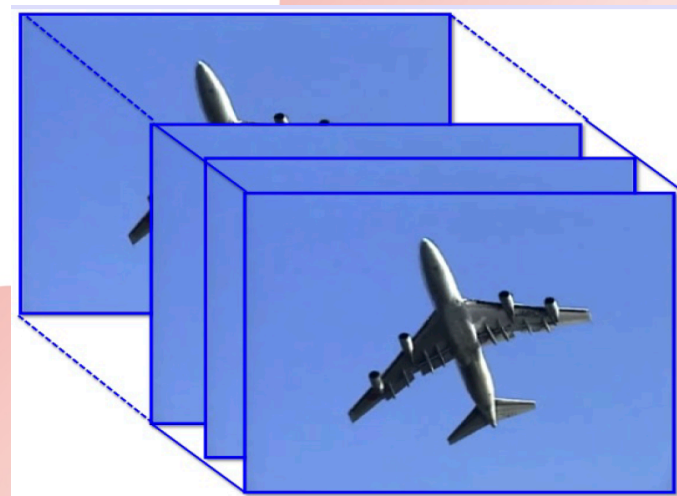
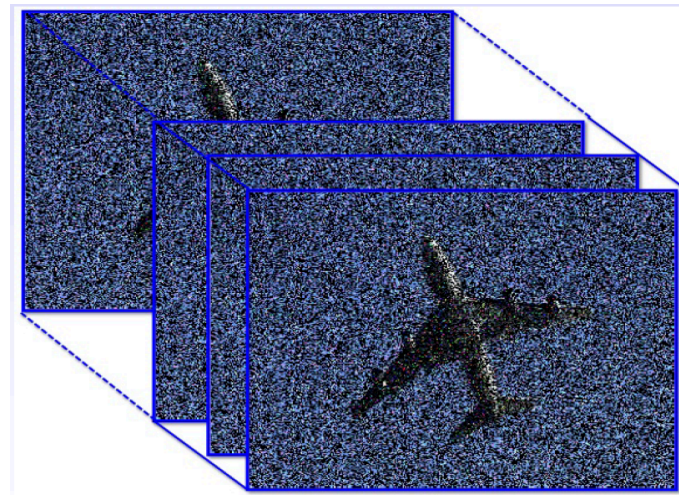
- ◆ 连续模型 (TV正则化) :

$$z = \mathcal{K}(u) + \eta$$

$$\arg \min_{u \in BV(\Omega)} TV(u) + \frac{\lambda}{2} \int_{\Omega} (z - u)^2 dx dy$$

- ◆ 离散模型 (低秩约束) :

$$\min_{\mathbf{L}, \mathbf{S}} \|\mathbf{L}\|_* + \lambda \|\mathbf{S}\|_1 \quad \text{s. t. } \mathcal{P}_{\Omega}(\mathbf{L} + \mathbf{S}) = \mathbf{X}$$



3. 学科知识与研究基础

可解性

连续: ill-posed problem 离散: NP-hard problem

| | | |
|----------------|--|--------------------------------|
| Regularization | TV | rank |
| Meaning | Smooth | Linear dependence |
| Expression | $TV(u) = \int_{\Omega} \nabla u dx dy$ | $\ L\ _* = \sum_i \sigma_i(L)$ |
| Problem | Denoising, Deblurring | Inpainting |
| Color image | vectorial TV, SV-TV | ? |
| Color video | vectorial TV | ? |

相关知识点: 鲁棒PCA、BV 空间、微分流形、子空间迭代方法、随机梯度下降法...

3. 学科知识与研究基础

研究基础

$$\text{SV-TV}(\mathbf{u}) := \int_{\Omega} \sqrt{|\partial_x \mathbf{u}(x, y)|_s^2 + |\partial_y \mathbf{u}(x, y)|_s^2} + \alpha \sqrt{|\partial_x \mathbf{u}(x, y)|_v^2 + |\partial_y \mathbf{u}(x, y)|_v^2} dx dy.$$

◆ SV-TV正则化彩色图像恢复模型:

- Z. Jia, M. K. Ng, W. Wang, Color image restoration by saturation-value total variation. SIAM J. Imaging Sci., 12(2), 972-1000, 2019.

$$\min_{u_r(x,y), u_g(x,y), u_b(x,y) \in \text{BV}(\Omega)} \left\{ \text{SV-TV}(\mathbf{u}) + \frac{\lambda}{2} \int_{\Omega} |(K \star \mathbf{u})(x, y) - \mathbf{z}(x, y)|^2 dx dy \right\}$$

◆ 增量张量 SVD:

- A new incremental tensor singular value decomposition model for face recognition, preprint, 2022.

$$\mathcal{A} = \mathcal{U} * \mathcal{S} * \mathcal{V}^T$$

$$[\mathcal{A} \mathcal{Z}] = \hat{\mathcal{U}} \hat{\mathcal{S}} \hat{\mathcal{V}}^T$$

$$\hat{\mathcal{U}} = [\mathcal{U}_k \quad \mathcal{Q}] * \tilde{\mathcal{U}}, \quad \hat{\mathcal{S}} = \tilde{\mathcal{S}}, \quad \hat{\mathcal{V}} = \begin{bmatrix} \mathcal{V}_k^T & 0 \\ 0 & I \end{bmatrix} * \tilde{\mathcal{V}}.$$

3. 学科知识与研究基础

研究基础

$$\mathbf{A} = \mathbf{U}\Sigma\mathbf{V}^* = \mathbf{U} \begin{bmatrix} \Sigma_1 & 0 \\ 0 & \Sigma_2 \end{bmatrix} \begin{bmatrix} \mathbf{V}_1^* \\ \mathbf{V}_2^* \end{bmatrix}, \quad \Sigma_1 \in \mathbb{R}^{k \times k}, \quad \mathbf{V}_1 \in \mathbb{Q}^{n \times k}$$

◆ 子空间迭代方法（Arnoldi 方法）：

- Z. Jia, M. K. Ng, Structure preserving quaternion generalized minimal residual method. SIAM J. Matrix Anal. Appl., 42 (2), 616-634, 2021.

$$\mathcal{K}_m(\mathcal{A}, \mathbf{v}) := \text{span}\{\mathbf{v}, \mathcal{A}\mathbf{v}, \dots, \mathcal{A}^{m-1}\mathbf{v}\}$$

$$\mathbf{b} - \mathbf{A}\mathbf{x} = \mathbf{b} - \mathcal{A}(\mathbf{x}_0 + \mathbf{V}_m\mathbf{y}) = \mathbf{r}_0 - \mathbf{A}\mathbf{V}_m\mathbf{y}$$

◆ 低秩逼近的随机化方法：

- Q. Liu, S. Ling and Z. Jia, Randomized quaternion singular value decomposition for low-rank matrix approximation, SIAM J. Sci. Comput., 44(2), A870-A900, 2022.

$$\mathbb{E} \|\hat{\mathbf{A}}_{k+p}^{(0)} - \mathbf{A}\|_F \leq \left(1 + \frac{4k}{4p+2}\right)^{1/2} \left(\sum_{j>k} \sigma_j^2\right)^{1/2}.$$

$$\mathbb{E} \|\hat{\mathbf{A}}_{k+p}^{(0)} - \mathbf{A}\|_2 \leq \left(1 + 3\sqrt{\frac{k}{4p+2}}\right) \sigma_{k+1} + \frac{3e\sqrt{4k+4p+2}}{2p+2} \left(\sum_{j>k} \sigma_j^2\right)^{1/2}.$$

4. 面临的难点与困难

◆ 彩色图像鲁棒填充的随机化算法

- 问题描述：如何从包含强噪声的观察图中快速恢复低秩彩色图像？
- 难点：RIP条件、随机化算法收敛性、Average spectral error、Deviation bound of approximation errors 等

4. 面临的难点与困难

◆ 彩色图像恢复的最小观测次数

参考文献：

- Z. Xu, The minimal measurement number for low-rank matrix recovery, *Appl. Comput. Harmon. Anal.* 44 (2018) 497-508.
- B. Gao, Q. Sun, Y. Wang and Z. Xu, Phase retrieval from the magnitudes of affine linear measurements, *Advances in Applied Mathematics* 93 (2018) 121-141.

5. 其他问题

- ◆ 需要与那些领域的研究人员合作?
- ◆ 对研究院与学科的发展有什么样的帮助?
- ◆ 其他建议?

谢 谢！